

## Gelatin 存在下에서의 Poly(Vinyl Alcohol)과 硼砂와의 相互作用 (II)

—Gelatin 存在下에서 얻어진 PVA/Borax 複合體의 構造와 物性—

金在汶 · 金明烈 · 金秀耕 · 曹鍾守

全南大學校 工科大學 高分子工學科

(1984년 10월 30일 접수, 1984년 12월 11일 심사완료)

### Interaction between Poly(Vinyl Alcohol) and Borax in the Presence of Gelatin (II)

—Structure and Properties of PVA/Borax Complex Formed in the Presence of Gelatin—

Jai-Moon Kim, Myung-Yul Kim, Su-Kyung Kim and Chong-Su Cho

Department of Polymer Engineering, College of Engineering,  
Chonnam National University, Kwangju 505, Korea

(Received October 30, 1984; Accepted December 11, 1984)

**Abstract:** Structure and properties of poly(vinyl alcohol) (PVA)/borax complexes formed in the presence of gelatin at different pH, temperature and concentration of PVA and borax were investigated by measuring their crystallinity and solubilities. Infrared spectra indicated that the crystal region of PVA in the PVA/borax complexes changed into amorphous one. X-ray measurements of PVA/borax complexes formed in the presence of gelatin indicated that the crystallinity of PVA in those complexes decreased as the concentration of PVA and borax and pH value increased. Thermogravimetric analysis showed that thermal stability of PVA/borax was consistent with X-ray measurements. The solubilities of complexes were dependent on the temperature and pH value.

#### 1. 序 論

Deuel<sup>1</sup> 및 Beardwood<sup>2</sup>은 水溶液의 PVA 와 硼酸이 反應하면 monodiol(1:1)形의 複合體를 形成하여沈澱이 일어나고, 硼砂와는 didiol(2:1)形의 複合體를 形成하여 gel化가 일어난다고 報告한 바 있다. 그러나, 著者 等<sup>3</sup>은 이미 이들의 研究結果와는 相異하게 gelatin存在下에서 는 養은 濃度의 PVA와 硼砂가 反應하여 gel이

아닌沈澱이 生成되는 새로운 事實을 發表한 바 있다. 따라서, 本 研究에서는 gelatin存在下에서 形成된 PVA/borax複合體의 構造와 物性를 檢討하였다.

#### 2. 實 驗

##### 2-1. 試 藥

gelatin과 PVA는 市販特級品(日本和光純藥製品)을 真空乾燥하여 使用하였으며, 硼砂 및 기

타의 試藥은 市販特級品을 그대로 使用하였다.

## 2-2. 實驗方法

### 2-2-1. 複合體의 合成

各 反應은 恒溫槽에서 所定의 濃度, 溫度 및 pH의 PVA水溶液에 所定의 濃度, 溫度 및 pH의 硼砂와 gelatin水溶液을 滴加·攪拌하여 複合體沈澱物을 얻었다.

反應 終了後, 生成物 內에 存在하는 未反應物은 蒸溜水로 濾過·洗滌하여 除去하였다. 未反應物이 除去된 複合體는 常溫에서 48時間 以上 真空乾燥한 後 100 mesh 以下로 粉碎, 또다시 常溫에서 24時間 以上 真空乾燥하여 測定에 使用하였다.

### 2-2-2. 複合體의 赤外線分光分析

2-2-1에서 얻어진 複合體의 構造를 理解하기 위해서 Shimadzu 43型 赤外線分光光度計를 使用하여 KBr pellet法(1:100)으로 赤外線吸收 spectrum을 測定, 分析하였다.

### 2-2-3. 複合體의 X線回折分析

2-2-1에서 合成한 複合體를 Rigaku社製 Geigereflex를 使用하여 特性波長  $\lambda=1.5405\text{\AA}$  (Cu-K $\alpha$ ), Ni-filter, 35Kv-15mA, scanning speed  $4^\circ\theta/\text{min}$ , chart speed 40mm/min의 條件으로 測定, 分析하였다.

### 2-2-4. 複合體의 热分析(热安定性)

2-2-1에서 얻어진 複合體를 Perkin Elmer製 TGS-2型 热分析器를 使用하여 窒素雰圍氣(120 ml/min)에서 加熱速度 10°C/min의 條件으로 溫度에 따른 重量減量分을 測定, 複合體의 热安定性을 分析하였다.

### 2-2-5. 複合體의 溶解度 測定

2-2-1에서 얻어진 複合體의 물에 對한 溶解度를 所定의 溫度(30, 60, 100°C)와 pH(2~13)에서 測定하였다.

## 3. 結果 및 考察

### 3-1. 複合體의 IR spectrum

Fig.1에 生成된 複合體의 IR spectrum을 나타내었다. (a)는 單獨의 PVA, (b)는 PVA/borax, (c)는 gelatin 存在下에서의 PVA/borax 複合體의 경우이다. 다른 部分은 差異가 없기에 PVA의

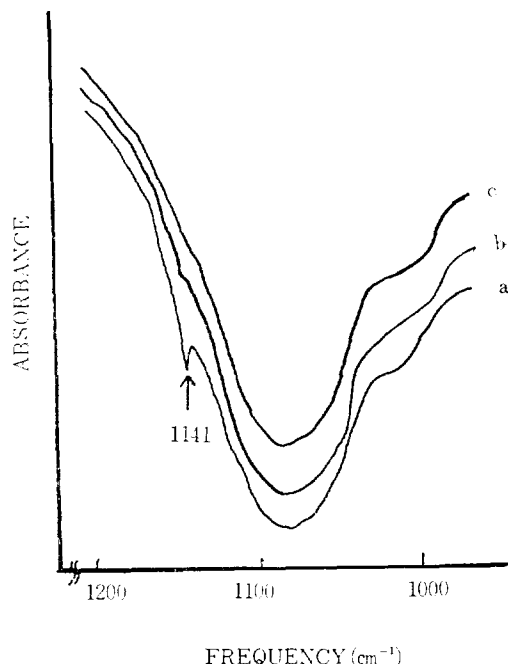


Fig. 1. Infrared spectra of PVA, PVA/borax and PVA/borax from gelatin, respectively.

- a : PVA only
- b : PVA/borax(1.5wt% /moll<sup>-1</sup>, pH9.5, 30°C)
- c : PVA/borax from gelatin(PVA : 0.25wt%, borax : 0.008moll<sup>-1</sup>, gelatin : 4.0wt%, pH 9.8, 30°C)

結晶性을 나타내는 吸收帶인  $1,141\text{cm}^{-1}$ 附近만 나타내었다<sup>4</sup>. 그림에 나타낸 바와 같이 PVA單獨의 境遇에는 PVA의 結晶性 吸收帶인  $1,141\text{cm}^{-1}$ 에서 吸收를 나타내고 있으나 PVA/borax와 gelatin 存在下에서의 PVA/borax複合體에서는 거의 나타나지 않았다.

이것은 PVA와 borax와의 사이에서 複合體를 形成할 때에 元來의 PVA가 갖는 結晶部分이 破壞되어 無晶形의 PVA로 變하기 때문이라고 생각된다. gelatin 存在下의 PVA/borax 複合體에서는 PVA와 borax가 複合體를 만들 때 gelatin이 濃縮效果를 나타내어<sup>5</sup>, PVA의 結晶性 吸收帶가 더욱 減少하리라豫想했는데 IR analysis結果에서 나타낸 바와 같이 이와 잘一致하였다.

### 3-2. 複合體의 X-ray 回折

Fig.2는 PVA와 borax가複合體를形成할때 gelatin의影響을나타낸X-ray回折分析結果로서 PVA, gelatin, PVA/borax系도 함께表示하였다. 그림에 나타낸바와같이 PVA單獨의境遇에는  $19.6^\circ(2\theta)$ 附近에結晶性peak가나타나고 있으나<sup>4</sup> PVA/borax複合體에서는 PVA單獨에比하여intensity가若干減少하고, gelatin存在下의PVA/borax複合體의境遇는intensity가더욱減少하였다. 이것은PVA/borax系와gelatin存在下의PVA/borax系에있어서borax가PVA와相互作用할때서로다른機構로作用하기때문이라고생각된다. 즉,沈澱이일어지는gelatin存在下의PVA/borax系(monodiol形複合體)가gel化가일어나는PVA/borax系(didiool形複合體)보다PVA의結晶部分이더욱破壞되는것을나타내고있다.反面에gelatin單獨의境遇에는이附近에서아무런peak도나타나지않음을보였다. 아울러複合體形成에미치는gelatin및borax의濃度, 그리고pH의영향을檢討하였다. Fig.3은gelatin濃度가複合體形成에미치는影響을나타낸X線回折分析結果로서, 그림에나타낸바와같이gelatin의濃度가增加할수록PVA의結晶性peak인 $19.2^\circ$

( $2\theta$ )의intensity가減少하는傾向을보였다. 이는gelatin의濃縮效果를더욱促進하여PVA의結晶部分破壞가增加한때문이라고생각된다<sup>5</sup>. Fig.4는borax濃度가複合體形成에미치는影響을나타낸X線回折分析result로서, 그림에나타낸바와같이borax濃度가增加할수록PVA의結晶構造는더욱破壞되는傾向을나타내었다.

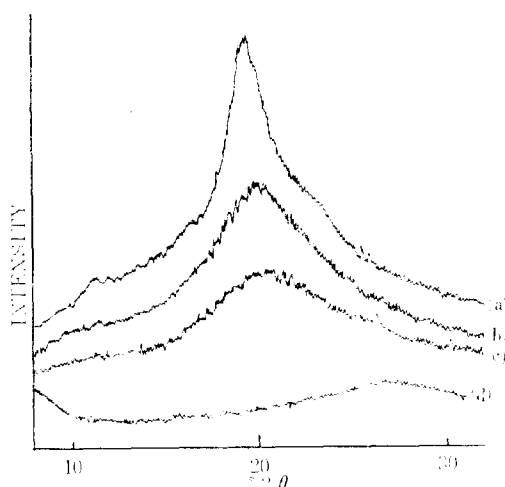


Fig. 2. X-ray diffractograms of PVA(a), PVA/borax(b), PVA/borax from gelatin(c) and gelatin only(d), respectively. (a), (b), (c) samples are as same as those in Fig.1.

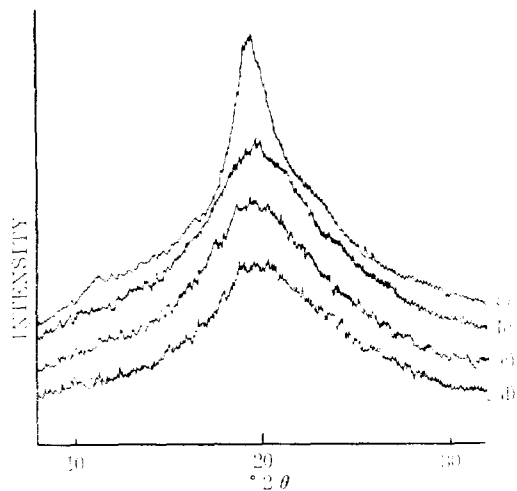


Fig. 3. X-ray diffractograms of PVA/borax complexes(0.25wt% PVA,  $0.008\text{mol l}^{-1}$  borax) obtained from 3.5(b), 4.0(c), and 6.0(d) wt% gelatin at pH 9.8,  $30^\circ\text{C}$ . (a) is pure PVA.

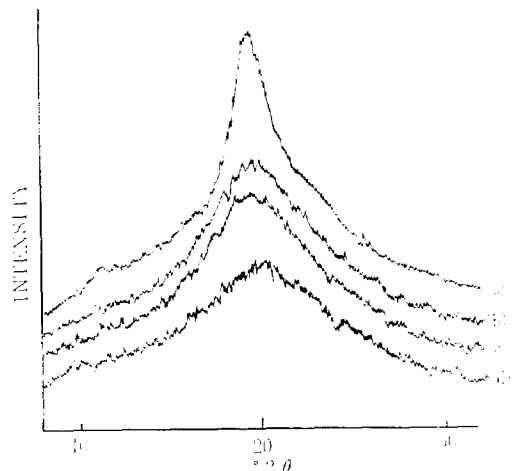


Fig. 4. X-ray diffractograms of PVA/borax complexes (0.25wt% PVA, 4.0wt% gelatin) obtained from 0.004(b), 0.008(c), and 0.0167(d)  $\text{mol l}^{-1}$  borax at pH 9.8,  $30^\circ\text{C}$ . (a) is pure PVA.

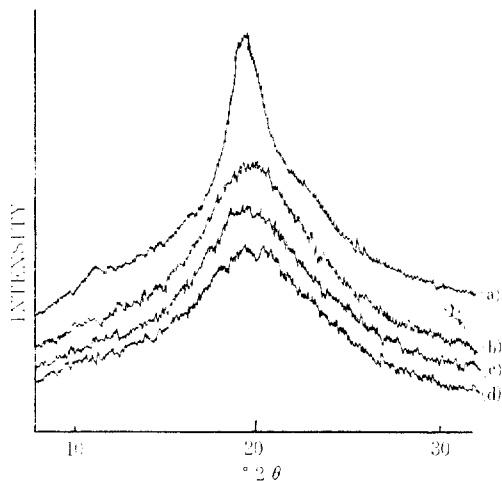
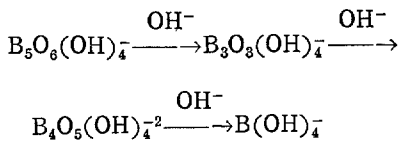


Fig. 5. X-ray diffractograms of PVA/borax complexes(0.25wt% PVA, 0.008moll<sup>-1</sup> borax, 4.0wt% gelatin) obtained from pH 8.8(b), 9.8(c) and 10.8(d), at 30°C. (a) is pure PVA.

이것은 PVA와 borax가複合體를 形成할 때 gelatin化가 일어나지 않는 borax濃度範圍에서 borax濃度의增加로 PVA와의反應성이 커지므로 PVA의結晶部分의破壞가增加했으리라 생각된다. Fig.5는複合體形成에 미치는pH의影響을 나타낸X線回折分析結果로서, 그림에 나타낸 바와같이 gelatin存在下에서 PVA와 borax가沈澱이形成的는 알카리領域에서 pH가上昇할수록 PVA의結晶構造는 더욱破壞됨을 나타내었다<sup>3</sup>. 이것은 borax와 borate ion의pH의上昇으로水溶液에서



와 같은經路로構造가變化된다고 알려져 있는 바<sup>6</sup> pH가높은쪽의borateion構造가gelatin存在下에서 PVA와複合體를形成할때에monodiol形의複合體形成이容易하기 때문에 PVA의結晶構造가더욱破壞되었으리라생각된다.

### 3-3. 複合體의 热分析

gelatin存在下의PVA/borax複合體에對한熱重量分析結果를Fig.6에나타내었다. 그림에나

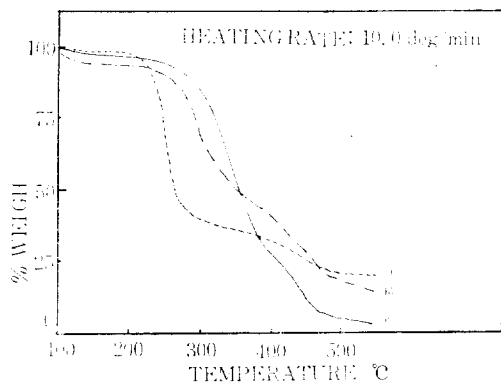


Fig. 6. Thermogravimetric Analysis Results of PVA/borax(b), PVA/borax from gelatin(c) and PVA only(a), respectively. (a), (b), (c) samples are as same as those in Fig. 1.

타넨바와같이 PVA>PVA/borax複合體>gelatin存在下에서의 PVA/borax複合體의順으로熱的인安定性을나타내었다. 또한 gelatin과borax의濃度와pH의變化에따른重量減少에서求한各各의溫度를Table 1에나타내었다. 表에서알수있는바와같이 gelatin과borax의濃度가짙어지고pH가높아질수록보다낮은溫度에서부터減量되는現象을보이는 등熱安定性이떨어지는傾向을보였다.

이러한結果들은X-ray回折analysis結果에서說明한바와같이 gelatin의濃度가짙은쪽이濃縮效果를더욱增進하고, borax濃度가짙을수록더욱큰反應성을, pH가높아질수록monodiol形의PVA/borax複合體를形成하기가쉬워PVA가갖는結晶性이많이破壞되기때문이라고생각된다.

### 3-4. PVA/borax複合體의溶解度

gelatin存在下의PVA/borax複合體에서얻어진沈澱物의물에對한溶解性을溫度와pH의變化에따라나타나는結果를Table 2에나타내었다. 表에나타낸바와같이複合體의溶解度는溫度와pH에따라달랐고, 30°C와같은低溫에서는어느pH에서나녹지않고安定된複合體가形成됨을알수있었다. 또한, 60°C에서는pH 7以下에서, 100°C에서는pH 10以下의範圍에서녹았고그以上의pH에서는녹지않았다.

Table 1. Thermogravimetric Analysis Results of PVA/Borax Complexes

Wt loss (%)	Temperature of various weight loss(°C)							
	pure PVA	PVA/Borax (1.5wt% /moll <sup>-1</sup> )	A	B	C	D	E	F
5	203	220	112	103	148	103	240	226
10	285.5	233.5	265	237	273	122	266	260
15	311.5	240	277	269	288	250	274	270
25	316	250	295	289	308	306	290	282
50	348	266.5	353	342	351	416.5	348	336
75	406	460	460	444	448	695	498	453.5

A : PVA/borax in gelatin(PVA : 0.25wt%, borax : 0.008moll<sup>-1</sup>, gelatin : 4.0wt%, pH 9.8, 30°C)B : PVA/borax in gelatin(PVA : 0.25wt%, borax : 0.008moll<sup>-1</sup>, gelatin : 6.0wt%, pH 9.8, 30°C)C : PVA/borax in gelatin(PVA : 0.25wt%, borax : 0.004moll<sup>-1</sup>, gelatin : 4.0wt%, pH 9.8, 30°C)D : PVA/borax in gelatin(PVA : 0.25wt%, borax : 0.0167moll<sup>-1</sup>, gelatin : 4.0wt%, pH 9.8, 30°C)E : PVA/borax in gelatin(PVA : 0.25wt%, borax : 0.008moll<sup>-1</sup>, gelatin : 4.0wt%, pH 8.8, 30°C)F : PVA/borax in gelatin(PVA : 0.25wt%, borax : 0.008moll<sup>-1</sup>, gelatin : 4.0wt%, pH 11.8, 30°C)Table 2. Solubility<sup>a</sup> of PVA/Borax Complexes at Various Temperature and pH Values

Sample	Tempera-ture (°C)	pH					etc.
		2	4	7	10	13	
PVA/borax <sup>b</sup> from gelatin	30	Ins <sup>c</sup>	Ins	Ins	Ins	Ins	
	60	S <sup>d</sup>	S	S	Ins	Ins	
	100	S	S	S	S	Ins	

a : Solubility in water 30 min.

b : The concentration of PVA, borax and gelatin are 0.25wt%, 0.008moll<sup>-1</sup> and 4.0wt% respectively.

c : Insoluble

d : Soluble

이러한 결과들은 gelatin存在下에서 PVA/borax複合體가 形成될 때 PVA의 結晶領域까지도 破壞될 程度로 강인한 結合을 하기 때문에 물에 잘 녹지 않으며 pH에 對한 依存性은 PVA와 borax가 複合體를 形成할 때에 前報<sup>3</sup>에 言及한 바와 같이 PVA의 解離度와 borax에서 borate ion으로의 構造變化가 있기 때문에로서, 溶解度도 이 것과 關聯되어 진다고 생각된다.

#### 4. 結論

gelatin存在下에서의 PVA와 borax와의 相互作用에 依해서 얻어진 PVA/borax複合體의 構造와 物性에 關하여 檢討한 結果 다음과 같은 結論을 얻었다.

##### 1. PVA/borax複合體에서 PVA의 結晶部分이

破壞되어 無晶形으로 變하여 monodiol形의 複合體가 形成됨을 알 수 있었다.

2. PVA/borax複合體에서 PVA의 結晶部分은 gelatin과 borax의 濃度가 高어지고, 또 pH가 높을수록 더욱 破壞됨을 나타내었다.

3. 複合體의 热的 安定性은 PVA의 結晶部分의 破壞가 클수록 낮았다.

4. 複合體의 溶解度는 溫度가 낮고 pH가 높을수록 낮았다.

附記：本研究는 1983年度 韓國科學財團의 研究費에 의하여 遂行된 것으로 深甚한 謝意를 表한다.

#### 參 考 文 獻

- H. Deuel and H. Neukom, *Makromol. Chem.* 3, 13 (1949).
- B.A. Beardwood and E. P. Czerwin, *Tappi*, 43, 944 (1960).
- J.M. Kim, C. S. Cho, S.K. Kim and M. Y. Kim, *Polymer(Korea)*, 8, 243 (1984).
- J. F. Kenney and G. W. Willcockson, *J. Polymer Sci.*, A4, 679 (1966).
- A. Labudzinska and A. Ziabicki, *Kolloid-A.U.Z. Polymere*, 243, 21 (1971).
- F. A. Cotton and G. Wilkinson, "Advanced Inorganic Chemistry" John Wiley and Sons, 298 (1980).